

## سبيل (2018/4/26) في منطقة السفيرة من حي ركن الدين

### أسبابه، نتائجه، وسبل مواجهته (1)

\* د. غزوان سلوم \*

\* د. خنساء ملحم \*

#### الملخص

عانت منطقة السفيرة في حي ركن الدين الدمشقي عند النهاية الشرقية لجبل قاسيون، من كارثة السيول يوم (2018/4/26)، وقد بيّنت الدراسة الميدانية، وجود عدة عوامل جغرافية، أدت دوراً مهماً في تحويل السيول من ظاهرة طبيعية إلى خطر يهدد القاطنين وممتلكاتهم، منها: افتتاح السكان لأقدام جبل قاسيون، وتحويلها إلى جروف حادة، وبناء الحي دونها مباشرة، وشدة انحدار السفوح، والقطاعات الدنيا للمجاري السيلية، التي راوحت على التوالي بين (10-12) و(35-50) درجة. كما زود مكب القمامنة -الأخذ بالتوسيع في القطاع الأعلى لحوض وادي السفيرة- السيول بالحملة المختلفة. ومن الخصائص الجيومورفولوجية التي أسهمت في زيادة سرعة المياه، كثرة الركب والسقطات الحادة قبيل مخرج وادي السفيرة، وقصر سفح هريرة مع شدة انحداره.

وتم من خلال تطبيق المعادلات الرياضية، تقدير أهم الخصائص الهيدرولوجية للسيول، كزمن وصول المياه إلى الأحياء السكنية، الذي راوح بين (13-16) دقيقة، وكمية التصريف، التي قدّرت بنحو ( $100 \text{ m}^3/\text{s}$ )، أمّا سرعة الجريان فراوحـت بين (13-22)  $\text{m}/\text{s}$ .

**الكلمات المفتاحية:** السيول، وادي السفيرة، حي ركن الدين.

---

\* جامعة دمشق، كلية الآداب والعلوم الإنسانية، قسم الجغرافية.

## Flood of (26/4/2018) in the Area of Al-Sfeereh, Rukn El Deen Neighborhood: Causes, Results, and Confrontation Ways(1)

Dr. Ghazwan Sallom\*\*

Dr. Khansaa Mulhem\*\*

### Abstract

The area of the Al – Sfeereh (Rukn El Deen Neighborhood) suffered from a flood disaster on (26/4/2018).

This research demonstrated, through field study, that several factors have been found to be responsible for turning the flood from a natural phenomenon to a disaster affecting the people and properties in the study area. These factors include: the urbanization on the feet of the mountain, and the steep slopes and streams in their lower sectors ( $10-12^\circ$ ) and ( $35-50^\circ$ ), respectively. Moreover, the landfill, which has been, over time, expanding in the upper sector of the basin, increases the hazards resulting from the flood because of its capability to carry mixed load. Added to these factors is main stream's richness with slope break points (waterfalls), specifically in the lower section of the Western Al - Sfeereh Basin.

Through the application of mathematical equations, the hydrological characteristics of the flood were calculated. The findings of the study showed that the arrival time to the urban area is about (13-16) minutes in Al - Sfeereh Basin, the large discharge volume is (100) thousand  $m^3$ , and the high flow speed ranged between (13-22) m/s.

**Key words:** Flood, Al - Sfeereh Basin, Rukn El Deen Neighborhood

\* Because of the many details that must be addressed in the research, it was divided into two parts. The first part is to study the mountainous area and the second part is to study the urbanized area.

---

\*\* Damascus University, Faculty of Arts and Humanities, Department of Geography.

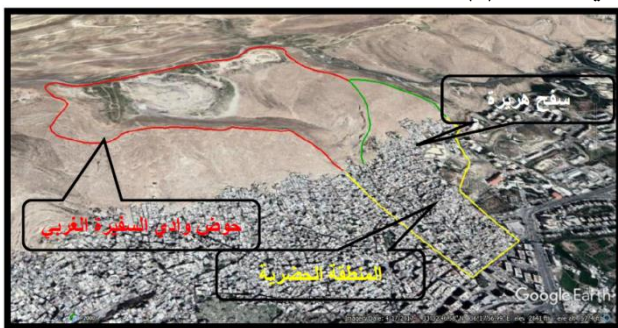
**مقدمة:**

تتميز المناطق الجبلية-الحضرية Mountain-urban areas بالعديد من العوامل التي تجعل خطر السيول Flash Floods على التجمعات السكانية، أمراً حتمياً، ويمكن للدراسة الجغرافية التفصيلية تحديد طبيعة العلاقة المتبادلة من تأثير وتأثير- بين العوامل الطبيعية والبشرية والسيول؛ ويمكن تصنيف هذه العوامل، إلى عوامل ثابتة وأخرى متغيرة، تتمثل الفئة الأولى، ببنية المنطقة الجيولوجية، وبنائها، وتضاريسها، وطبوغرافيتها وترتيبها، أما الفئة الثانية فتضم المناخ، والنباتات واستخدامات الأراضي.

ويديهي القول: إنَّ غياب قاعدة البيانات الجغرافية لأي منطقة، وانتشار الأحياء السكنية العشوائي، وعدم ضبط استخدامات الأراضي بشكل يتناسب مع متطلبات الحفاظ على مصالح السكان من جهة، وسلامتهم من جهة أخرى، يجعل من الصعب درء مخاطر السيول فيها إن لم يكن مستحيلاً في بعض جوانبه؛ ومع تدافع وسائل التواصل الاجتماعي والإعلامي لنقل الحدث ونشره، تولدت موجة من الخوف والقلق المجتمعي والحكومي لا تقل حجماً عن قوة السيول ذاتها، الأمر الذي استدعى إجراء دراسة دقيقة وتفصيلية عن هذه الظاهرة، للوقوف على أسبابها وتحليل العوامل التي جعلت منها حدثاً خطيراً متكرراً في المدة الأخيرة.

**منطقة البحث:**

تقع منطقة البحث عند النهاية الشرقية لجبل قاسيون، ويمكن تقسيمها إلى منطقتين رئيستين: الأولى جبلية طبيعية، تضم حوض وادي السفيرة، وسفوح هريرة. والثانية حضرية، تتمثل بالجزء الشمالي الشرقي من المنطقة السكنية العشوائية لحي ركن الدين، وهي شارع وادي السد (وادي السفيرة الغربي)، وشارع الحجر أو شارع جامع الشركس (وادي السفيرة الأوسط)، وشارع الأنوار المحمدية (وادي السفيرة الشرقي). وتهي جميعها إلى شارع الوانلي. الصورة(1).



الصورة(1): منطقة الدراسة

تبلغ مساحة منطقة الدراسة نحو (1.3)<sup>2</sup> كم، تشكل مساحة القسم الجبلي منها نحو %55.8، تبلغ مساحة حوض وادي السفيرة نحو (0.610)<sup>2</sup> كم<sup>2</sup>، ومساحة سفح هريرة <sup>\*2</sup>(0.117) كم<sup>2</sup>

#### مشكلة الدراسة:

تمثل مشكلة الدراسة بتحليل ظاهرة السيول في حي ركن الدين، نموذجاً عنها سيل (26/4/2018)، وتandi أهم الأضرار الناتجة عنه.

#### أهداف الدراسة:

- تحديد العوامل الجغرافية المسببة لسيول المنطقة.
- تحديد مستويات الخطير وموقعه ودرجاته.

- اقتراح سبل مواجهة خطير السيول (من وجهة نظر جغرافية).

#### فرضيات البحث:

- تُعدُّ المنطقة الجبلية كلها، منطقة خطيرة، فيما يخص تشكيل السيول.
- يمثل السكن العشوائي السبب الأهم وراء حدوث الكارثة.

#### أدوات البحث:

- الخارطة الجيولوجية لرقة شمالي دمشق NI 37-G-3-D، مقياس (1:5.000).

- الخارطة الطبوغرافية لشمالي دمشق، مقياس (1:50.000).

#### برامج GIS.

- برنامج الصور الفضائية Google Earth.

• العمل الميداني خلال الأيام (9/5/2018)(13/5/2018)(31/5/2018). (10/6/2018).

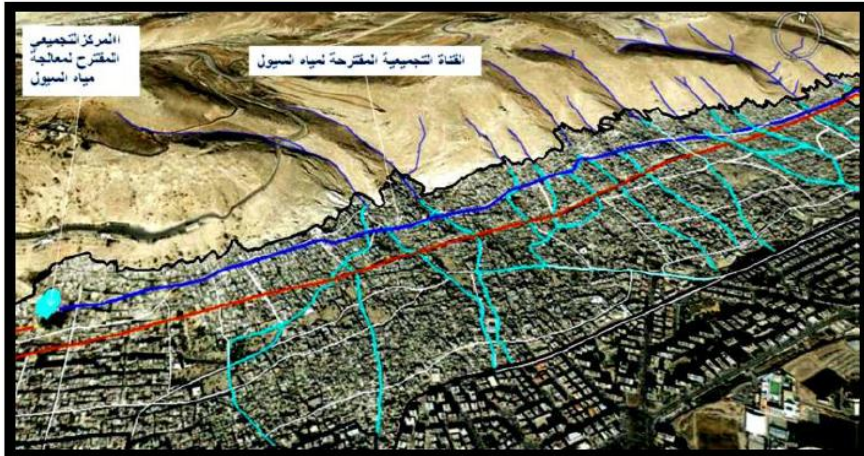
#### الدراسات السابقة:

توافرت دراسات طبيعية عن جبل قاسيون تحديداً، منها ما كان جيولوجياً كدراسة (عبد الناصر دركل: 1996، ص: 170-174)، وهي بعنوان: الشقوق في محدب قاسيون. حدد فيها أسباب نشأة الشقوق، وأهم اتجاهاتها. ثم أعدَّ بحث آخر عن تطور الإجهادات القديمة في محدب قاسيون ( عبد الناصر دركل: 1999، ص: 227)، أكد فيه نشوء طية قاسيون مع نهاية الكريتاسي، ومرورها بمرحلة بناء تكسريتين رئيسيتين خلال النيوجين والزمن الرابع.

وفي عام (2007) أصدر تقرير فني عن الأعمال الجيولوجية والهندسية والزلزالية والبرمائية، (منطقة السكن العشوائي قاسيون)، ضمن المشروع التعاوني مع الإدارة المحلية

\* حُبيت المساحات باستخدام برنامج Arc Hydrology توسيع DEM، باستخدام

والتحطيط الإقليمي لفاسيون، تناول العديد من الجوانب الجيولوجية لأنواع الصخور الكلسية، وموقع الانزلاقات، وامتداد صدع دمشق، والكهوف. كما اقترح حلولاً لمواجهة خطر السيول (من وجهة نظر جيولوجية - هندسية بحثة). كوضع قنوات صرف تقطع الطرق بشكل موازٍ لصدع دمشق. تجتمع في قناة رئيسة، لتنتهي بدورها إلى مجمع مقترن غربي جبل قاسيون. وبين التقرير خطورة موقع مكب الردميات في القطاع الأعلى من حوض وادي السفيرة، وأوصى بإيقاف العمل به. وتدعيم الجهات الجنوبية منه بجدار استنادي. الصورة(2).



الصورة(2): مقترن قناة الحماية من سيل جبل قاسيون (بالأزرق).

تمثل المذكورة الإيضاحية التي أعدتها الجيولوجيا (محمد الحافظ: 2010)، للخارطة الجيولوجية (رقة شمالي دمشق)، أهم الدراسات الجيولوجية التي تضمنت نتائج بحوث الفريق السوفيتي السابق، وعمل المؤسسة العامة للجيولوجيا والثروة المعديّة، وحددت فيها أنواع الصخور السطحية، واستراتيجية الطبقات الصخرية، وتاريخ المنطقة الروسي والبنياني. ومن الدراسات العمريّة، دراسة (لينا الدجاني، محمد يسار عابدين: 2009، ص: 440) التي أوصت بوضع خطة شاملة لدرء أخطار فيضانات مسارات جبل قاسيون. التي تؤثر في عدة مناطق من مدينة دمشق، كالمهاجرين وركن الدين والمزة.

أمّا الدراسات التي تناولت السيول كموضوع بحث لها، فسترد لاحقاً حسب الحاجة إليها، وقد أوردت معظمها تعريفاً محددة للسيول، فقد حدّته المنظمة العالمية للأرصاد الجوية WMO، بأنّه فيض قصير الأمد، مع ذروة عالية نسبياً. في حين حدّته جمعية الأرصاد الجوية الأمريكية AMS بأنه: فيضان يرتفع وينخفض بسرعة كبيرة، مع مدة

زمنية قليلة أو معدومة لتوخي الحذر منه، وذلك نتيجة الهطل الغزير على مساحة صغيرة. (WMO: 2012, P: 2)، وأوجزت المنظمة صفاته بكلمتين، بأنّه: حاد Sharp، وغير متوقع unexpected. وأضاف (Lin: 1999, P: 9-10) عوامل أخرى ترفع من خطورتها، كبعثرة النباتات أو انعدامها، وتوافر انحدارات شديدة، وتربة قليلة السُّمك، ومساحات كثيفة (صخرية وحضرية). فضلاً على الهطل الغزير، والترب المتشبعة، مع تعديلات معينة باستخدامات الأرض (Creutin & Others: 2009, P: 115).

#### جغرافية منطقة الدراسة:

يعكس الواقع حال الأحياء الجبلية في مدينة دمشق، العلاقة المعقدة بين مختلف العوامل الجغرافية، فقد حول ساكنو الحي، قسماً كبيراً من المظهر الطبيعي إلى حضري، فحللت السطوح الكثيفة من الإسمنت والإسفلت في القطاع الأدنى والأوسط من الجبل، محل السطوح الصخرية لأقدام الجبل. وأصبحت السيول تنتهي إلى حي ركن الدين عبر جروف صخرية ناتجة عن الانقطاع البشري، لتخضع بدورها إلى ضوابط عمرانية، فيتم توجيهها عبر الأزقة والشوارع نحو شارع الوانلي، ومنه إلى شارع أسد الدين. وجرى تناول العوامل الطبيعية بشكل مفصل على النحو الآتي:

**جيولوجية المنطقة:** فرض الواقع البنوي -البنياني للجبل شروطه الصارمة على المخطط العمراني لحي ركن الدين. ويقع حي ركن الدين بين كتلتي جبل قاسيون في الجنوب الغربي، وجبل برزة (تيمورلنك) في الشمال الشرقي، وتمثل مجتمعة جزءاً من محدب طيبة ضيقة narrow linear folds تعرف بطيبة قاسيون، يراوح اتساعها بين (3-4)كم، يمتد محورها باتجاه شمالي شرقي -جنوبي غربي، وهي طيبة غير متاظرة Asymmetrical flexor (Mouty. M: 2015, P: 54)، تمثل طبقات جناحها الجنوبي الشرقي بزوايا شديدة بين (60-80) درجة، في حين تمثل طبقات جناحها المقابل بين (15-20) درجة.

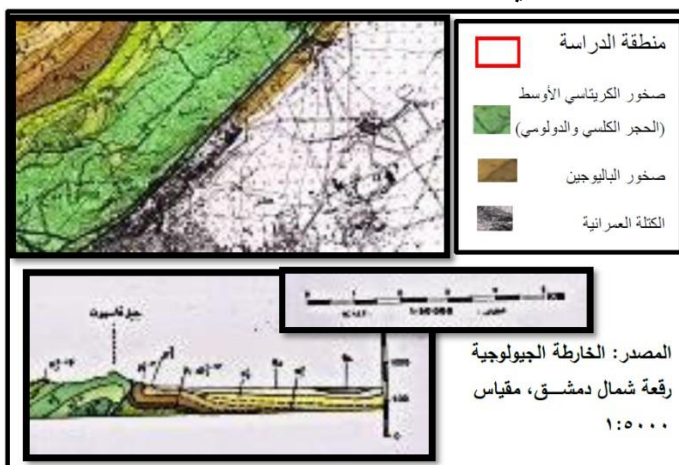
إلا أن الدراسة الميدانية أكدت جنوح الطرف الجنوبي الغربي من كتلة شرقى قاسيون إلى حدود قصوى من الطي، لتحول إلى طيبة نائمة أو مستلقية Recumbent fold. وقد انعكس هذا الوضع البنائي سلباً على المخطط العمراني العشوائي للحي، فمع ضيق الطيبة وشدة ميل جناحها الجنوبي الغربي، اضطر السكان للبناء، والتلوّع العمراني دون القدرة على إنشاء مصاطب كتلك التي تلاحظ في جادات المهاجرين. الصورة(3).

تألف نواة المحدب من صخور كلسية دولومية، دولومية وكلسية-غضارية، تعود إلى السينومان الأعلى، في حين تتكون أجنهاته من صخور كلسية، كلسية غضارية، كلسية حوارية، صوان و سيليكتية تعود إلى طابقى الكونياس والسانتون من قمة الكريتاسي (K). (المذكرة الإيضاحية: 2010، ص: 61).



الصورة(3): الطية المستلقة عند الطرف الجنوبي الشرقي لجبل الأكراد.

تعرضت هذه الطبقات لطهي شديد، وتصدع مسائر لمحورها، الشكل (1-ب)، وهو سبب نشوء الأحواض السيلية في قمة المدب. تختفي صخور الباليوجين (P)، التي تكون القطاع الأدنى من الجبل تحت مبني حي ركن الدين وشوارعه. في حين يتكون قطاعه الأوسط من صخور الحجر الكلسي والمارل والحجر الكلسي الغضاري الباليوجينية، ويفصل بين الوحدتين الصخريتين صدع دمشق. ويؤكد (ر. فولفارت) وجود أربعة أنظمة صدعية متعددة مع صدع دمشق، (عادل عبد السلام: 2008، ص: 82). ويعتقد الباحثان أنها كانت وراء تشكيل المجرى السيلية على السفح الجنوبي الشرقي - شديد الانحدار - ومنها وادي السفيرة.



الشكل(1): الخريطة الجيولوجية لمنطقة الدراسة.

### مناخ المنطقة:

تُخضع منطقة الدراسة لنظام مناخ البحر المتوسط، الذي يتميز بشتاء ماطر بارد نسبياً، وصيف جاف ودافئ، تتصف الأمطار فضلاً عن قلتها، بعدة خصائص بينها (ماجد النحلاوي: 1991، ص: 62-66) في دراسته، منها: بلوغ معدل الهطل بين عامي (1990-1994) نحو (218)مم، وبين (1994-2010) نحو (178,5)مم لمحطة قاسيون - حسب هيئة الأرصاد الجوية - وهي غير منظمة فصلياً، فقد شهدت بعض السنوات هطل كميات تزيد على ضعف المعدل، كما حدث خلال موسم (1958-1959)، إذ بلغت (311)مم، وقد تنخفض عنده غير مرة لتصل إلى (69)مم، كما في الموسم التالي. وأن تذبذبها الشهري أكثر وضوحاً من الفصلي، كما ثبتَ له أن معامل الاختلاف خلال الأشهر الانتقالية -آذار ونيسان- أكبر منه في الأشهر الشتوية. ووافقت نتائج دراسة (فواز الموسى: 2015، ص: 18) ما توصل إليه النحلاوي\*. وقد تعرضت مدينة دمشق ومنطقة الدراسة لهطل غير معهود بحجمه، وتكراره، مع بداية العقد الثاني من الألفية الثالثة، فتسبب بحدوث سيل مدمراً، وذلك في أحياء ركن الدين والشيخ خالد والمهاجرين، وبالخصوص أعوام (2015-2016-2018)م. إلا أنَّ بعض الدراسات العالمية (Wagener & Others: 2007) عدَّت مثل هذه الأحداث -المتطرفة- انعكاساً طبيعياً للتغير المناخي نحو الجفاف العالمي.

وقد أكدت بيانات وزارة الزراعة والإصلاح الزراعي، مديرية الأراضي والمياه في نشرتها رقم (78)، أن كمية الهطل الذي تعرضت له مدينة دمشق خلال (24) ساعة، امتدت من الساعة السابعة صباح يوم الخميس (26/4/2018)، وحتى الساعة السابعة من صباح يوم الجمعة (27/4/2018)، بلغ في محطتي قاسيون ومساكن برزة، على التوالي (24-26)مم، وقد اعتمدنا رقمًا متوسطاً لوقوع منطقة الدراسة بين المحيطتين.

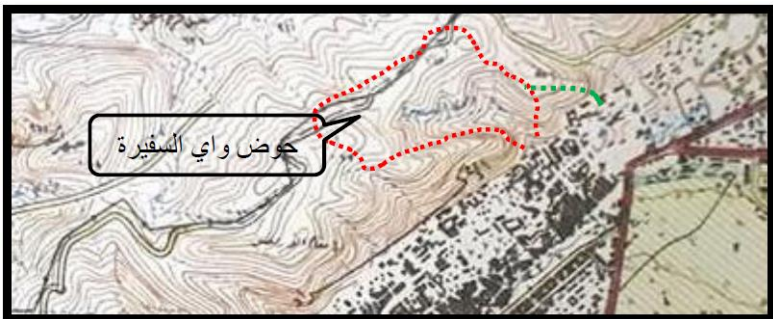
إن تأثير منطقة الدراسة بانخفاض جوي سيطر على طبقات الجو كلها خلال المدة بين (25-28) من شهر نيسان لعام (2018)م، وترافقه بامتداد منخفض البحر الأحمر، شكل عاصفة رعدية، أدت إلى هطل غزير. ويذكر أن سيل يوم (29/3/2015)م التي ضربت المنطقة، تعزى للأسباب ذاتها.

### طوبغرافية منطقة الدراسة:

تمثل طوبغرافية جبل قاسيون من ارتفاع، وامتداد، واتجاه السفح الجنوبي الشرقي المتعامد مع اتجاه مسار العواصف المطيرة والمنخفضات الجوية السبب الرئيس للسيول. تبلغ أعلى نقاط منطقة الدراسة (1102)م فوق مستوى سطح البحر، وذلك عند الطرف

\* ستفتقر الدراسة المناخية على عنصر الهطل، وإهمال الحرارة والتباخر والرطوبة، فطبيعة الأمطار الرياحية، وخصائص المنحدرات، تجعل من الفاقد في حدودها الدنيا. وقل الأمر ذاته عن مسامية الصخور ونفايتها.

الشمالي من حوض السفيرة، وأخفضها نحو (800)م عند تقاطع شارع أسد الدين مع طلعة الوانلي. فيكون فرق الارتفاع (302) متر فوق مستوى سطح البحر. الشكل (2).



الشكل(2): الخريطة الطبوغرافية لمنطقة الدراسة

بلغ الانحدار العام للمنطقة الجبلية الطبيعية وفق معادلة (Young: 1972, P: 173) نحو (11,6) درجة مئوية، وللمنطقة الحضرية (9,6) درجة مئوية، إلا أن التحرى الميداني، والقياس المباشر، أكد وجود أربع مناطق متباينة في انحدارها من حوض وادي السفيرة، هي على التوالي: من الأعلى نحو نهاية الوادي: سفوح المكب (30-35) درجة، وانحدار المجريين السيليين الرئيسيين (2-5) درجات قبيل نقطة التردد، وقطاع الجروف بين (35-70) درجة. وأخيراً، الجرف الصخري الذي تنتهي إليه السيول باتجاه الحي، وانحداره بين (60-80) درجة. وبعدُ الجزء الأخير من أخطر موقع الوادي، فكلما اشتد الانحدار انخفضت الطاقة التسريبية infiltration capacity، وتتسارعت المياه الجارية بفعل الجاذبية الأرضية (6: ISBN: 2010.P)، وبذلك تقوم السيول بالعمليات الجيومورفولوجية من حرث ونقل بقوة، محظوظة بمعظم كمية الهطل، ومع تزودها بحمولة حجرية وحصوية ورملية ترتفع قدرتها على التدمير. صورتان (4-5).



الصورة(4): المجرى الرئيس الأيسر، بركيه وسفطاته.



الصورة(5): شدة انحدار قطاع الربك.

أًمَا سفح منطقة هريرة فقد راوح انحداره بين (10-20) درجة. وزاد على (25) في قطاعه الصخري الأعلى. الصورة(6). وبالنسبة إلى جهة السفوح، فتقع مباشرة في مواجهة العاصف المطير القادمة من الجنوب الغربي، والغرب.



الصورة(6): منحدر منطقة هريرة (السفيرة الأوسط).

### هيدرولوجية منطقة الدراسة:

تمثل الجريانات السطحية، في ظل شدة انحدار السفوح والمجرى السيلية، وصغر حجم الحوض المائي، الانعكاس المباشرة لعلاقة الهطل بسطح الأرض، إذ يمكن إهمال بقية العوامل من ترب ونباتات لندرتها وضعف تأثيرها، وفي ظل عدم وجود محطة هيدرولوجية، أو استحالة إجراء قياسات ميدانية في يوم السيل، لخطورتها وإمكانية تدميرها لأجهزة القياس، وتهدد السلامة الشخصية للباحثين. (Lin et al: 2008)، فإن السبيل الوحيد لتحديد الخصائص الهيدرولوجية للسيل، هو استخدام المعادلات الهيدرولوجية، فطبقت معادلة (لايسلي) لتحديد كمية التصريف، التي بلغت لمجمل المنطقة الجبلية نحو ( $111.2 \text{ m}^3/\text{s}$ ). ملحق (1). كما استخدمت معادلات Snyder (1928) الخاصة بالمناطق الجافة التي تتناسب مع عدم توافر البيانات المناخية والهيدرولوجية (البارودي: 2012، ص: 21-23)، لحساب زمن التباطؤ lag time وهو الوقت المطلوب لحدوث الجريان منذ بدء الهطل. ويرتبط العلاقة عكسية مع خطورة كل من السيول والفيضانات العادمة (سيف الدين الأوجلي: (د. ت)، ص: 22-20). وقد راوح بين (5.6-6.9) دقيقة، لحوض وادي السفيرة، و(0.72-1) دقيقة لمجرى هريرة.

ولحساب زمن تراكم concentration time الجريان السطحي، الذي يشير إلى المدة اللازمة لانتقال المياه من أبعد نقطة على محيط الحوض إلى مخرجه، استخدم معادلتين لتحديد زمن التراكم، تعتمد كل واحدة على شروط وافق بعضها منطقة البحث، إذ وضعت معادلة Carter (1961) لحساب زمن تراكم أحواض تصريف حضرية urban watersheds، ولمساحات نقل عن ( $20.7 \text{ km}^2$ )، وطول المجرى الرئيس أقل من ( $11.3 \text{ km}$ ، في حين خصصت معادلة Kirpich (1940) للأحواض التي تقل مساحتها عن ( $0.45 \text{ km}^2$ ) وأنحدرات تراوح بين (3-10%)، وتبيّن أن التقديرات لم تكن متباعدة جدًا، إذ بلغ زمن التراكم في حوض وادي السفيرة على التوالي (9,4) (7,4) دقيقة، ونحو (2,7) (1,5) دقيقة لمجرى سيل هريرة. وبجمع قيمة زمن التباطؤ من زمن التراكم، فإن زمن وصول المياه إلى الأحياء السكنية منذ بدء الهطل، يراوح بين (13-16) دقيقة من حوض وادي السفيرة، وبين (2-4) دقائق لمجرى هريرة.

وتمثل سرعة التصريف المعيار الأهم في تحديد خطورة السيول، وتشير إلى حجم المياه التي تقطع نصف القطر الهيدروليكي للمجرى خلال ساعة واحدة، وترتبط بعوامل أخرى مثل الانحدار وغزارة الهطل، وانخفاض معدلات التسرب. وقد طبقت معادلة Manning لحساب سرعة التصريف أو التفريغ، وهي تتطلب حسابات معقدة لنصف القطر الهيدروليكي من خلال قياس أبعاد المجرى السيلي، وقد بلغ عرض مجاري

وادي السفيرة (10)أمتار، وارتفاع جوانبه التي وصل إليها مستوى مياه السيل (1.5)مترًا -حسب مستوى الرطوبة على الجدران والرمال والدمار- وبلغ عرض القسم الأعلى من المجرى، نحو (15)م، ولما كان شكل المجرى شبه منحرف، فقد حُسبت مساحة المقطع العرضي، والمحيط المبلل بناءً على المعادلات الرياضية الخاصة بالشكل شبه المنحرف، وبلغ نصف القطر الهيدروليكي نحو (1.44)، في حين بلغ عرض المقطع الصندوقي لمجرى سيل هريرة (0.75)م، وارتفاعه (0.3)م، وبذلك يبلغ نصف القطر الهيدروليكي (0.17). ويكون معدل التصريف للقيم الحدية السابقة لوادي السفيرة بين (19.4-8.2)م<sup>3</sup>/ثا، وبين (1.7-3.9)م<sup>3</sup>/ثا لمسيل هريرة.

ولا تقل سرعة التيار أهمية عن معدل التصريف، وقد حُسبت من خلال معادلة (Bhatia 1990.p 9-2)، فراوحت القيم لسيل وادي سفيرة بين (13,5-5,7)م/ثا، ولمسيل هريرة بين (10-22,9)م/ثا.

وقد أجمع معظم من تم سؤالهم من أهل الحي- خلال العمل الميداني - على حقيقةتين: الأولى أن السيل بدأ بعد الهطل بمدة زمنية راوحـت بين (15-30) دقيقة. والثانية: أنه استمر أقل من ساعة، وتقربيـاً بين الساعة (3-4) عصراً. ما سبق كله من خصائص هيدرولوجـية، يؤكـد خطورة الخصائص الهيدرولوجـية لسيول المنطقة الجبلية، واستحالة تدارك خطرها لقصر المدة الزمنية التي تصل فيها إلى الحي السكـني.

#### جيومورفولوجـية المنطقة:

مع أنَّ السيول ظاهرة مناخية-هيدرولوجـية، إلا أنَّ لخصائص تضاريس سطح الأرض دوراً مهماً في زيادة قوتها أو إضعافها، فتقعر المنحدرات، وكثرة نقاط انقطاع الانحدار أو (المسارع Speeder)، في القطاع الطولي للمجاري السيلية، وقصر مسافاتها وقربها من مخرج الحوض، وغلبة الحـت والنـقل على التـرسـب، وضيق الوادي والمجـاري. وتتوفر مصدر قـريب للحملة السيلـية. ذلك كـله يـمد مـياه السـيـول بـقـوة تـدمـيرـية.

اكتسب حوض وادي السفيرة خصائصه الجيـومـورـفـوـية من أصولـه البنـيـوـيةـ البنـائيـةـ، التي تعكس شـدة طـي Folding طـبقـات الصـخـور الكلـسـيـةـ والـلـوـلـوـمـيـةـ، وتشـكـل محـبـباً صـنـدوـقـياً ضـيقـ القـمـةـ، غير متـاظـرـ، نـشـأتـ عـلـى سـنـامـهـ أحـواـضـ مـائـيـةـ صـغـيرـةـ المسـاحـةـ، مستـغـلـةـ صـدـوـعـ الشـدـ التي توـاـكـبـ عمـلـيـةـ الطـيـ، كما عـكـسـتـ المـجـارـيـ السـيـلـيـةـ، الفـارـقـ الرـأـسـيـ الكـبـيرـ معـ قـصـرـ المسـافـةـ بيـنـ قـمـةـ المـحـدـبـ وـنـهـيـاـتـ جـنـاحـهـ الجنـوـيـ الشـرـقـيـ، وهـيـ شـروـطـ مـمـاثـلـةـ لـتـلـكـ التي عـدـهـاـ (Schumm: 1963) من أـهـمـ أـسـبـابـ نـشـوـءـ جـريـانـاتـ سـيـلـيـةـ عـالـيـةـ السـرـعـةـ فيـ أحـواـضـ غـربـيـ الولاياتـ المتـحـدةـ الأمريكيةـ (Ritter & Others: 1995, P: 180).

بلغ أقصى طول لحوض وادي السفيرة (1.2) كم، في حين بلغ أقصى اتساع (0.750) كم، وبلغ طول منحدر هربرة-متلبي الشكل - نحو (350) م، وأقصى اتساع لقاعدته قربة (470) م. يصنف حوض وادي السفيرة وفق مساحته، ضمن الأحواض صغيرة المساحة. ولذلك تأثير مباشر في كمية المياه والحمولة المنصرفة عنه، فمع شمول العواصف المطيرة لمساحته كلها، فإن مكوناته جميعها من منحدرات ومجارٍ مائية، تسهم في عملية توليد الجريان السطحي، ولما كان انحدار سطحه متوسطاً، مع ترب قليلة العمق، وإنعدام للنباتات، فإن حجم تصريفه الكامن يعادل تقريباً حجم تصريفه الفعلى. ومع أن صغر المساحة لا يساعد في توليد سيول كبيرة الحجم، إلا أن طبيعتها الجبلية تقف وراء قوتها التدميرية، وينطبق عليها ما أكدته دراسة (Lund & Others 2010: P: 17-23) بأنَّ السيول الأشد حدة، التي لا يمكن التنبؤ بها، تحدث عادة في أحواض التصريف المائي صغيرة المساحة إلى المتوسطة. والتي تتميز بتدفق تيار سريع الزوال، ومجارٍ موسمية- جافة.

**ولشكل الحوض تأثير في حجم الذروة، وزمن وصولها إلى مخرج الحوض.** فمن المثبت جيومورفولوجيًّا أن الأحواض القريبة من الشكل المستدير، قادرة على تشكيل جريانات سطحية أكثر خطورة من تلك المستطيلة، ذلك لأنَّ كمية من المياه تتجمع في نقطة الترافق المركزية لشبكة المجاري المائية، التي تتخذ نمطاً شجرياً، وتتجه نحو مخارجها دفعة واحدة. في حين تخرج المياه من الأحواض المستطيلة بكثيارات متعاقبة، متتالية، لاتخاذ شبكة مجاريها المائية نمطاً ريشياً في توزعها. فتكون قمة الفيضان واضحة في الأولى ومنخفضة في الثانية. وقد بلغ معامل الاستطالة لحوض وادي السفيرة حسب معادلة (Schumm 1956: P: 612)، نحو (0.0258)؛ أي إِنَّه شديد الاستطاله، وذلك بسبب العارض الجبلي الجنوبي المساير لمحوره، فيتخد الحوض شكلاً صندوقياً مطابقاً لمحور المدبب الذي نشأ عليه- وكأنه كومب Cumb أو سنام مفرغ- مع اتساع تدريجي نحو الشرق، إلا أنَّ العلاقة بين شكله ونمط تصريفه تختلف ما هو شائع جيومورفولوجيًّا، فعلى الرغم من استطاله الحوض، إلا أنَّ وقوع مخرجه عند الزاوية الجنوبية الشرقية منه، في نقطة متعمدة مع محوره، جعل من تأثير استطالته مشابهاً لتأثير استدارة الأحواض، حيث تتجمع المياه عند نقطة مرکزية، هي نقطة الترافق الأخيرة، قبل مخرجه بنحو (300) م، وتتجه مجتمعة نحو الحي السكني، عبر جرف صخري شديد الانحدار. الصورة(7).



الصورة(7): شكل الحوض شبه المنحرف القريب من المستطيل ومخرجه في الزاوية الجنوبية الشرقية منه وقد بيّنت الدراسة الميدانية عدة عوامل تصريسيّة رفعت من خطورة سيل منطقة السفيرة، وبالتحديد القطاع الجبلي (الحوض والسفح)، ويأتي في مقدمتها:

1-تحيط المرتفعات الجبلية ذات السفوح شديدة الانحدار، بالقطاع الأعلى من الحوض، وتقسم إلى نوعين، سفوح طبيعية، صخري شبه عار، يراوح انحداره بين (20-40) درجة، وأخرى صناعية، ترتبط بالمكب، لذلك فموادها مفككة، مع زوايا استقرار تراوح بين (25-30) درجة.

2-المنحدرات الصخرية الطبيعية محدبة عند قطاعيها الأعلى والأوسط، في حين تكون المنحدرات الصناعية مستقيمة مع تعرّق طفيف، تتجه المنحدرات كلها إلى الداخل لتوبيخها مياهاً مباشرة نحو المجاري السيلية.

3-تتحدّر أرض الحوض عموماً من الشمال الغربي نحو الجنوب الشرقي.

4-تتحدّد ثلاثة مجاري مائية رئيسة أرض الحوض، أحدها - وهو الغربي - يمتد من منحدرات المكب نحو الشرق بطول (340) متراً، واثنان شرقيان متراجدان قبل منطقة التجمع الرئيسية مع المجرى الغربي بنحو (80) متراً، بطول متقارب (260-270) متراً.

5-يمثل المكب الشمالي الغربي بمنحدراته الصناعية، وموادها الهشة، مصدراً رئيساً للحملة السيلية المختلطة، فقد لوحظ تنوع الرواسب في الأرقة بين رملية وحجيرية وقمامنة. وقد لوحظ من مقارنة الصور القضائية، لعامي (2007-2017م)، الصورة(7-8)؛ أن المكب أخذ بالاتساع، فقد امتد نحو الجنوب والشرق، ليطمس معالم مجرى مائي كان يردد المجرى الغربي، كما امتلاً الخندق الكائن بين المكب والعارض الجبلي بالحطام والركام والقمامنة.



الصورة(8): المكب عام (2007)

المصدر: التقرير الفني الأولي 2007.

6- لوحظ عند أقدام منحدر المكب الغربي، حدوث انهيالات بسبب عملية النسق السفلي المائي المتكررة لأحداث السيول، ومنها سيل (26/4/2018)م. الصورة(9). وهي بذلك مؤشر واضح على كون المكب من أهم مصادر الحمولة السيلية، التي تترافق في قاع المجرى الغربي، أكثر من نظيريه الشرقيين.



الصورة(9): الانهيالات عند أقدام منحدر المكب الغربي.

7- المجرى السابق غني بالسقطات والركب في قطاعه الأعلى، الصورة(10). وتجمع الرواسب في قاعه، ذو قطاع عرضي غير متاظر، وأكواع بسيطة، يتجه نحو المخرج بزاوية قائمة معه، حيث يسابر الحافة الشمالية للعارض الجبلي، ثم ينبعطف انعطافاً حاداً بعد منطقة التراكم نحو المخرج.

8- يتميز المجرى الأيسران بقاع صخرية عار عموماً، وأكواع بسيطة، وقطاع عرضي غير متاظر، عميق من الجهة اليمنى نحو (1,2)م، مع حفر إذابة وتحت قليلة العمق (50-65) سم. وتسبب هذه الخصائص الجيومورفية للمجرى إحداث حركة مضطربة للتيار المائي، وانعدام نسبة المياه المتسرية، على الرغم من قلة انحداره (3-2 درجات الصورة(11).



الصورة(11): انحدار المجرى الشرقي



الصورة(10): الركب والسقطات في المجرى الغربي

9- تقع منطقة التقاء المجاري الرئيسية الثلاثة على مقربة من منطقة الركب والسقطات الخطيرة، وتبعد نحو (300) م فقط عن مخرج الوادي، تمتد نحو (100) م، يكون المجرى الرئيس فيها لطيف الانحدار (3-5) درجات، الصورة(12)، وأكثر اتساعاً، يدل على ذلك مظاهر الحت الجانبي كالأكواع، ثم يبدأ بالضيق تدريجياً بالاتجاه نحو المخرج. قطاع الركب الأخطر. وهي أكثر المناطق أماناً مع أنها قصيرة.



الصورة(12): ضيق الوادي وقاعدته الصخري، قبيل قطاع الركب.

10- يبلغ طول قطاع الركب والسقطات نحو (200) م. وهو سلسلة من الجروف الصخرية المتدرجة هبوطاً نحو الجرف الأخير، نتجت عن ميل الطبقات بشكل رأسى عند الجناح الجنوبي الشرقي لطية قاسيون، مما يعني أن عرض كل ركبة يمثل ثمانية الطبقات الصخرية، يرتفع ارتفاعها بين (0.5-8) أمتار. يفصل بينها مسافات قصيرة، شبه مستوية. كما يقع أسفل كل جرف حفرة مليئة بالرمال والحصى. تتحدر سطوح بعضها بزوايا بين (35-70) درجة، فتكون منزلة مسارع ومساقط، تعمل على زيادة سرعة المياه الجارية، ومن ثم ترتفع من قدرتها على الحث والنقل والتدمير. الصور (13-14-15-16).



الصورة(13): قطاع الركب فوق جدار الجرف مباشرة.



الصورة(14): تعاقب سقطات وركب جرفية صخرية، ناظراً نحو القطاع الأعلى.



الصورة(15): أكبر جرف في قطاع السقطات (8)م.



الصورة(16): مقطع جانبي لانحدار الجرف الرئيس (8) أمتار وسط قطاع السقطات.

11- يصبح الوادي أكثر ضيقاً كلما اتجه نحو العاصمة (7-10)أمتار. ويتخذ شكل حرف v، مع قاع صخري، ضيق، منبسط قبيل وصوله إلى منطقة الركب. الصورة(17).



الصورة(17): الوادي الخانيقي، متوجهًا نحو حي ركن الدين.

12- ينتهي الحوض بجرف صخري، يرتفع عن نهاية شارع السفيرة الغربي نحو (7)أمتار، الصورة(18). بعرض (10)أمتار. ويراجح انحداره بين (80)درجة في أعلىه، و(60)درجة عند قاعدته. الصورة(19). يعد أخطر أجزاء الوادي بعد منطقة الركب التي تعلوه مباشرة، تنتهي عنده السيول بحملتها ومجروفاتها من القطاع الجبلي، لتنقل إلى الجانب الحضري، فتفعل فعل الشلالات في الأنهار، إلا أنها أشد وطأة على مسقطها، وذلك بسبب طبيعة حولتها الصلبة، وقد لوحظ العديد من الآثار المدمرة لسيل (26/4/2018م، فقد تشكلت عدة حفر عند قاعدة الجرف، بأعماق راوحـت بين (90-120)سم، واقتلتـت أنابيب الصرف الصحي وكسرـت، وتحطمـت القاعدة الاسمنتية التي تشكـل سـداً صنـاعـياً لإضعـاف قـوـةـ السـيـولـ. الصورة(20).



الصورة(18) بداية جرف السد الصخري وإشرافه على المباني



الصورة(20): الحطام الصخري، وتدمير قاعدة  
الجرف الاسمنتية، وتكسير أنابيب الصرف  
الصحي. يوم (9/5/2018) م.



الصورة(19): جرف السد الصخري، بارتفاع (7)  
أمتار، وانحدار قائم.

#### **جيومورفولوجية سفح هريرة:**

تتجه مياه منحدر هريرة على شكل سيل عبر مساراته نحو شارعي السفيرة الأوسط (الحجر) والسفيرة الشرقي (الأنوار المحمدية)، وهو سفح محدب عموماً، ينسجم مع حالة الطي والدفع التي تعرض لها الجناح الجنوبي الشرقي لجبل قاسيون. الصورة(21).



الصورة(21): محبد هريرة دونه المنازل العشوائية.

يحدد السفح أربعة مسارات ضحلة وقصيرة، يبدأ أكثرها أهمية من منتصف السفح، ويتوجه نحو المنازل بانحدار راوح بين (10) درجات في عاليته، و(3) في سافلته، الصورة(22). يضيق بالاتجاه ذاته من (150) سم، إلى (80) سم، يبلغ طوله نحو (175) م، يتخلله بعض نقاط انقطاع الانحدار، كالجرف الصخري في قطاعه الأعلى، الذي يبلغ ارتفاعه نحو (2) م، ينتهي بقطع عرضي صندوقي، لا يزيد عمقه على (90) سم، صور رقم. (23). ويتصل بالحي السكني بمنحدر صخري مركب من أقسام شديدة الانحدار بين (30-60) درجة، ولمسافة نحو (10) أمتر. الصورة(24).



الصورة(22): مسيل منحدر هريرة.



الصورة(23): القطاع العرضي من مسيل هريرة.



الصورة(24): الجرف الصخري لنهاية مسيل هريرة مع بداية السكن العشوائي.

### التعديلات البشرية في جيومورفولوجية المنطقة الجبلية:

لا يمكن للظاهرة الطبيعية مهما بلغت من تطرف أن تصنف بالخطير، مالم تؤثر في حياة الإنسان أو ممتلكاته، لذلك فلا يمكن فصل الأسباب الطبيعية عن البشرية، وفي منطقة الدراسة اقطع الإنسان جزءاً من حضيض الجبل وقطاعه الأوسط، الذي يعمل على استقرار المنحدر كلّه من جهة، وإيصال المياه الجارية بحملتها إلى ما بعد حدود الجبل بيسير نسبياً، واستبُلّ بها أحياe سكنية كثيمة من الإسمنت والإسفلت. وتغلّل مسافات مختلفة في قطاعه الصخري الأدنى، فبتر سافلة الجبل مشكلاً جروفاً صخرية حادة في بعض المواقع، وأخرى مكونة من حطام أقدام الجبل بسميات تراوح بين (5-12)م، لتحول إلى مساقط مائية خطيرة خلال الهطل الكثيف، تنتهي مياهها بسرعة عالية إلى الحي لسكنى. الصور (25-26-27).



الصورة(25): اقطاع صخور الباليوجين عند أقدام شرقى قاسيون

إن الاستجابة الهيدرولوجية لأحواض التصريف المائي الجبلية، صغيرة المساحة، حساسة للتدخلات البشرية التي تتمثل باستخدام الأرضي (Seethapathi et al; 2008). وتعدُّ منطقة الدراسة مثالاً صارخاً على ذلك، فاختيار القطاع الأعلى لحوض وادي السفيرة كموقع لتجميع النفايات والردم، يعُدُّ كارثة بيئية بحد ذاتها، ومصدراً رئيساً لتغذية السيول بحملتها المدمرة. مما ينعكس على ارتفاع مستوى مياه السيل وسرعتها إيجاباً، فمع زيادة الوزن النوعي لمياهها وتوافر انحدارات كبيرة، يصبح فعل الجاذبية أشد في زيادة سرعة الجريان، ومن ثمَّ ترتفع قدرتها على التدمير.



**الصورتان (26-27): سقوط مياه السيول يوم 26/4/2018 من جرف السد.**

المصدر: صورة عن فيلمين انتشرت عبر وسائل التواصل الاجتماعي عقب حدوث السيول بيوم عند جرف حارة السد.

تطلق الاستراتيجيات الحديثة لمواجهة المخاطر الطبيعية، من تبني سياسة التعايش مع الأرض *Living with the Earth*، بوصفها وسطاً حيوياً، بدل التعامل معها كبيئة مادية بحثة. مما يعني ضرورة التحول من العمل الدفاعي ضد الأخطار الطبيعية، الذي يستدعي مواجهتها بهدف الحد منها، أو تعطيل آلياتها نهائياً. إلى إدارة المخاطر وتوجيهها flash (Wang & Others: 2107, P: 2)، بل الإفاداة منها إن أمكن (FFG, flood guidance)، وذلك ضمن الحدود الدنيا من التدخل البشري في التوازن الطبيعي.

وقد أجبر عدم اندماج التدابير الهندسية **Engineering measures** (المنشآت الصلبة) مع الوسط الطبيعي، العلماء والمؤسسات والحكومات على البحث عن حلول أكثر مواعنة للوسط الطبيعي، التي عُرِفت بالتدابير غير الهيكلية **Non-engineering measures** (المنشآت الخضراء). ثم ظهر مؤخراً اتجاه ثالث، يدمج بين أفضل ما يقدمه كلا الأسلوبين. فكانت أكثر كفاءة واستدامة. كما عززت استعادة بعض البيئات لتوازنها. إلا أنه لابدّ من التوبيه إلى أن الحماية من الفيضانات ليست مطلقة، وقد تولد إحساساً زائفًا بالأمان (Stoffel et al.; 2016, P: 24-26).

بناء على الدراسة الحالية يتقدم الباحثان بالحلول الآتية لمشكلة السيول في المنطقة الجبلية:

- 1- إزالة المكب نهائياً من موقعه الحالي، أمّا بناء جدران حماية -كما اقترح تقرير المحافظة- فلا يحول دون انهيارها تحت وطأة حركة موادها الهشة بفعل الجاذبية أولاً، وعمليات الحفـت المائي السفلي لقواعدـها ثانياً.

2-بناء حاجز اسمنتي في موضع قبيل منطقة الركب، ويمكن اقتراح موقعين هما الأول: بعد منطقة النقاء المجري السيلية الرئيسة، حيث يقل انحدار المجرى عن (3) درجات، الصورة(28). والثاني بعده بمسافة نحو (40) متراً، حيث يتخذ الوادي شكلاً خانقياً قبيل منطقة السقطات، وفيه يستقاد من ميل الطبقات الرأسية، التي تمثل جرائناً صخريّاً طبيعيةً تدعم الحاجز، كما يوفر ضيق القطاع العرضي، المواد والجهد والوقت. الصورة(29).



الصورة(28): موقع (1) المقترن لبناء السد.



الصورة(29): موقع (2) مقترن لبناء الحاجز، عند بداية تضيق الوادي، وقبيل منطقة الركب.

3-نشر مصائد معدنية شبكية تعمل على عرقلة حركة المياه الجارية من جهة، واحتجاز الحمولة من جهة أخرى، مع السماح للمياه بالمرور، ويجب أن تكون فتحات الشبكات المناسبة لحجم الحمولة، التي يراوح قطر أكبرها في القطاع الأعلى بين (5-10) سم، وعند القطاع الأدنى بين (1-2) سم. الشكل (3).

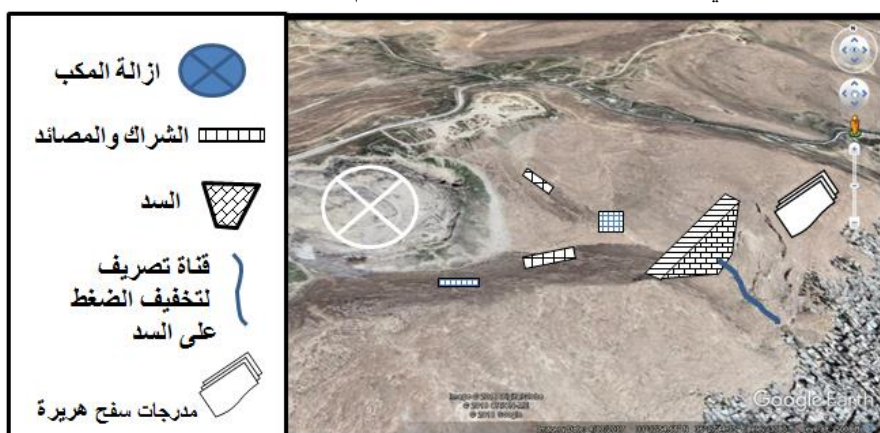
4-تحريج الحوض بأشجار مناسبة، أسوة بجبل قاسيون المجاور له. فمن المعروف أن الغابات والحراج تعيق حركة المياه، وترفع كميات المياه المحتجزة والمتسربة، ونقل ذلك

من قدرة السيول على الحث والاقتلاع، فقد انخفضت ذروة الفيضانات بنسبة (85%)، بعد زراعة الغابات خلال المدة بين عامي (1935-1947) في منطقة Hollow Tennessee في ولاية Hollow في الولايات المتحدة الأمريكية، وارتفعت المدة الزمنية لحدوثها من ساعة إلى ثمان ساعات، مما أتاح المدة الزمنية المناسبة لاتخاذ إجراءات الدفاع والسلامة ضد الفيضانات.

5- السماح لكميات من المياه بالتحرر عبر جدار الحاجز، من خلال مخرج يمكن التحكم به. لتنحيف الضغط عنه.

6- يمكن حفر آبار لتغذية المياه الجوفية، على أن يكون موضع الآبار بعد آخر مصيدة للحمولة، لكن لا بد من دراسة مسبقة عن توزع التجاويف الصخرية، وتحديد مستوياتها وخصائصها. وقد أجريت دراسة مشابهة على السفح الجنوبي الشرقي لجبل قاسيون غرب بلدة بربة، حددت من خلالها موقع الكهوف تحت السطحية، وأبعادها، عن طريق تفسير المعطيات الجيو-كهربائية (معتصم القادرى: 2001، ص: 167).

7- تخفيف حدة انحدار سفح هريرة بإنشاء مدرجات أو مصاطب، إذ يستحيل إنشاء أي تدبير غير هندسي عليه، لقصره وشدة انحداره. وانعدام تربته.



الشكل (3): تحديد موقع السد والنفق

#### نتائج البحث:

يمكن إيجاز العوامل الطبيعية التي وقفت وراء كارثة سيل (26/4/2018) على النحو الآتي:

1. يمثل المكب في القطاع الأعلى لحوض وادي السفيرة، المصدر الرئيس للحملة السيلية
2. يقع حوض وادي السفيرة الغربي، ومنحدر هريرة في مواجهة العواصف الرعدية المطيرة، التي تتميز بخصائص متطرفة من حيث الكمية وزمن الحدوث.

3. قصر طول المنحدرات والمجري المائي، وشدة انحدارها، وعدم وجود عوائق طبيعية، مما سرع وصول المياه بحملتها المدمرة إلى المبني. وقلل من المدة الزمنية المتاحة لاتخاذ إجراءات السلامة على المدى القريب.
4. وقع قطاع الركب والسقطات والمسارع بين نقطة التركز الهيدرولوجية -نقطة التقاء المجاري الرئيسية- ونهاية الوادي الجرفية، خلال مسافة قصيرة. وتعد منطقتا الراكب والمخرج أخطر أجزاء القسم الجبلي.
5. يمتد بين منطقة الراكب ومنحدرات المحيط الجبلي في القطاع الأعلى من حوض سفيرة، قطاع قليل الانحدار، لكنه قصير نسبياً، وهو من أفضل الأماكن لمواجهة خطر السيول، قبل اكتسابها زخماً أكبر مع وصولها إلى منطقة الراكب.
6. يمكن الإفاداة من بعض الخصائص البنائية-الجيومورفية لاتخاذ مجموعة من التدابير، لدرء خطر السيول، والحد منه، كبناء حاجز عازل، وشبكة تصافي -فلاتر- للمياه والحملة، والسماح بإمرار كمية من مياه السيول نحو مدينة دمشق، للإفاداة منها وحماية الحاجز.

### (1) الملحق

مسيط هريرة	وادي السفيرة	المعادلة	الوصف
33,9	77,3	$Q_{\max} = 99 A^{0.5}$ Q: حجم التصريف (م <sup>3</sup> ). A: مساحة الحوض (م <sup>2</sup> ). Cooke; et al: 1982, P: ). (239)	كمية التصريف م <sup>3/ثا</sup>
1-0,7	6,9-5,6	$T_{lag} = 0.73 \times Ct (L \times Lca)^{0.3}$  T <sub>lag</sub> : زمن التباطؤ بالساعات. Ct: معامل التباطؤ ويعتمد على خصائص الحوض ويزواج بين (2.2-1.8). L: طول المجرى الرئيس من مخرج الحوض إلى حدوده العليا (كم أو ميل). وبساوي (0.8) كم لوادي السفيرة، ولمسيل منحدر هريرة (0.175) كم. Lca: معامل شكل الحوض وهو (طول المجرى الرئيس من المصب وحتى نقطة مركز نقل الحوض). ويبلغ (0.3) كم في وادي السفيرة. ونحو (0.175) كم في سفح هريرة. Ramiraz: (البارودي: 2012، ص: 21-23)، (2000, P: 18)	زمن التباطؤ lag time (دقيقة)
2,7	9,4	$L^{0.6} S^{-0.3} 0:0015476=Tc$	زمن التركيز

		<p><b>Tc</b>: زمن التركيز (ساعة).  <b>L</b>: طول الحوض (م).  <b>S</b>: انحدار سطح الحوض (<math>m/m</math>). وهو لوادي السفيرة          .  <math>(0.2/m)</math>, ولمسيل هريرة (<math>0.4/m</math>).          (Sharifi &amp; Hosseini; 2011. P 713)</p>	<b>concentration time</b> معادلة <b>Carter (1961)</b> (دقيقة)
1,5	7,4	$Tc = 0.0003245 L^{0.77} S^{-0.385}$ <p>(Sharifi &amp; Hosseini: 2011, P: 713)</p>	زمن التركيز معادلة <b>Kirpich 1940</b>
3,9-1,7	19,4 - 8,2	<p><b>Q</b> = <math>C (R^{2/3} \times j^{1/2}) / \eta</math></p> <p><b>Q</b>: سرعة التدفق أو سرعة الجريان (<math>m^3/\text{ث}</math>).  <b>C</b>: ثابت يساوي (1) في القياسات المترية.  <b>R</b>: هو نصف القطر الهيدروليكي hydraulic radius يحسب من (<math>A/pw</math>).          إذ: مساحة المقطع العرضي وتساوي (<math>18.75 m^2</math> لوادي سفيرة، و (<math>0.225 m^2</math> لميسيل هريرة).  <b>Pw</b>: المحيط المبلل ويساوي (13) م لوادي سفيرة، و (1.35) م لميسيل هريرة.  <b>J</b>: انحدار المجرى المائي، (<math>m/m</math>). ويبلغ نحو (<math>0.2/m</math>) أو قرابة (11.5) درجة لوادي السفيرة، إذ الفارق الرأسي نحو (160) م على طول (800) م. ولميسيل هريرة نحو (0.14) م، وهو ما يعادل (8.5) درجة، إذ الفارق الرأسي نحو (26) م، على مسافة (175) م هي طول المسيل.  <b>η</b>: معامل خشونة السطح Surface roughness راوحه قيمه الحديه بين (0.03) للقنوات الجبلية الحصوية والحسبياء، و (0.07) للمجاري الجبلية ذات الجلاميد.</p> <p>(Lavado &amp; Others: 2007, P: 455) ، (البارودي: 2012، ص: 23).</p>	سرعة التصريف معادلة <b>Manning</b> $m/\text{ث}$
22,9-10	13,5-5,7	$V = Q/A$ <p><b>V</b>: سرعة التيار المائي (<math>m/\text{ث}</math>).  <b>Q</b>: معدل الجريان <math>m^3/\text{ث}</math>.  <b>A</b>: مساحة القطاع العرضي للمجرى (<math>m^2</math>).          (Bhatia: 1990, P: 9-2)</p>	متوسط سرعة التدفق $m/\text{ث}$

### المراجع العربية:

1. الأوجلي، سيف الدين محمد صالح : تحليل خارطة التباين المكانى لدرجات خطورة أودية القطارة- مطر - الجوابية "دراسة تحليلية باستخدام تقنية الاستشعار عن بعد ونظم المعلومات الجغرافية " ، جامعة بنى غازي، ليبيا، (د.ت).  
[uob.edu.ly/assets/uploads/pagedownloads/a9c94-.pdf](http://uob.edu.ly/assets/uploads/pagedownloads/a9c94-.pdf)
2. البارودي، محمد سعيد: تقدير أحجام السيول ومخاطرها عند المجرى لوادي عرنة جنوب شرق مدينة مكة المكرمة باستخدام نظم المعلومات الجغرافية، الجمعية الجغرافية المصرية، العدد(48)، 2012.
3. الحافظ، محمد: المذكرة الإيضاحية للخارطة الجيولوجية السورية، رقعة شمالي دمشق NI-37-SW-G-3-b، وزارة النفط والثروة المعدنية، المؤسسة العامة للجيولوجيا والثروة المعدنية، مديرية المسح والدراسات الجيولوجية، دمشق، 2010.
4. الدجاني، دينا؛ عابدين، محمد يسار: الاتجاهات المستقبلية الفضلى لتوسيع مدينة دمشق بمساعدة تقنيات نظم المعلومات الجغرافية (GIS)، مجلة جامعة دمشق للعلوم الهندسية، المجلد(25)، العدد(1)، 2009.
5. دركل، عبد الناصر: الإجهادات القديمة في محدب قاسيون، نموذج لدراسة التكتونيک التكسيري في السلسلة التتميرية، أسبوع العلم التاسع والثلاثين، المجلس الأعلى للعلوم، الكتاب الثاني، 1999.
6. دركل، عبد الناصر: الشقوق في محدب قاسيون، نموذج لدراسة الشقوق وأهميتها التكتونية في السلسلة التتميرية، أسبوع العلم السادس والثلاثين، المجلس الأعلى للعلوم، الكتاب الثاني، ج 1، 1996.
7. القادري، معتصم: التطبيقات الجيو-هندسية للطرائق الجيو-كهربائية، مثل مشروع بربزة، دمشق، سورية، مجلة جامعة دمشق للعلوم الأساسية، المجلد(17)، العدد(2)، 2001.
8. الموسي، فواز: الخصائص المناخية والإحصائية لكميات الهطل السنوية في دمشق، مجلة بحوث جامعة حلب للآداب والعلوم الإنسانية والتربية، العدد(95)، 2015.
9. النحلاوي، ماجد: خصائص أمطار دمشق و احتمالاتها، المركز العربي لدراسات المناطق الجافة والأراضي القاحلة (أكساد)، مجلة الزراعة والمياه، العدد(12)، يوليه، دمشق، 1991.

**المراجع الأجنبية:**

1. APFM/WMO: Guidance on Flash Flood Management, Recent Experiences from Central and Eastern Europe, Associated Programme on Flood Management, United Nations, 2007.
2. Bhatia. A: Fluid Power (Part 1) – Hydraulic Principles. Course No: M04-016. Continuing Education and Development, Inc. 9 Greyridge Farm Court. Stony Point, NY 10980, 1990.  
[info@cedengineering.com](mailto:info@cedengineering.com).
3. Creutin. J. D; Borga. M; Lutoff. C; Scolobig. A; Ruin. I; & Créton-Cazanavee. L: Catchment dynamics and social response during flash floods: the potential of radar rainfall monitoring for warning procedures. METEOROLOGICAL APPLICATIONS.16, Published online 20 February 2009 in Wiley Inter Science, 2009.  
([www.interscience.wiley.com](http://www.interscience.wiley.com)) DOI: 10.1002/met.128.
4. Creutin. J. D; Borga. M; Lutoff. C; Scolobig. A; Ruin. I; & Créton-Cazanavee. L: Catchment dynamics and social response during flash floods, the potential of radar rainfall monitoring for warning procedures. METEOROLOGICAL APPLICATIONS.16, Published online 20 February 2009 in Wiley Inter Science, 2009.  
([www.interscience.wiley.com](http://www.interscience.wiley.com)) DOI: 10.1002/met.128.
5. Lavado. C. F; Furdada. G; & Marqués. M. A: Geomorphological method in the elaboration of hazard maps for flash-floods in the municipality of Jucuarán (El Salvador), 2007. [www.nat-hazards-earth-syst-sci.net/7/455/2007/](http://www.nat-hazards-earth-syst-sci.net/7/455/2007/) © Author(s) 2007. This work is licensed under a Creative Commons License. Barcelona, Spain.
6. Lin. X; (Co): Flash floods in arid and semi-arid zones, Prepared in the framework of the International Hydrological Programme by the Working Group of Project H-5-2 (IHP-IV), UNESCO, Paris, 1999.

7. Lund. W. R; Knudsen. T. R; & Sharow. D. L: Geologic hazards of the Zion national park, Geologic-hazard study area, Washington and Kane Counties, Utah, Utah Department of Natural Resources, ISBN 978-1-55791-833-8, 2010.
8. Mouty. M: A new model for structural deformation in the palmyride fold belt, Syria Damascus University Journal for BASIC SCIENCES Vol(31), No(1), 2015.
9. Rogelis. M. C; Werner. M; Obregón. N; & Wright. N: Regional prioritisation of flood risk in mountainous areas, Nat, Hazards Earth Syst. Sci., 16, 833–853, 2016.
10. Schumm, S. A: Evolution of Drainage Systems and Slope in Badland at Perth Amboy New York, Geol, Soc, Ame, Bull, Vol(67), 1956.
11. Sharifi. S; & Hosseini. S. M: Methodology for Identifying the Best Equations for Estimating the Time of Concentration of Watersheds in a Particular Region. 2011 American Society of Civil Engineers, Journal of Irrigation and Drainage Engineering© ASCE/November, 2011.
12. Shrestha. A. B: Resource Manual on Flash Flood Risk Management, Module 2: Non-structural Measures, International Centre for Integrated Mountain, 2008.
13. Torgersen. G; Ketil Rød. J; Kvaal. K; Bjerkholt. J. T & Lindholm. O. G: Evaluating Flood Exposure for Properties in Urban Areas Using a Multivariate Modelling Technique, Water **2017**, 9, 318, 2017.  
doi:10.3390/w9050318 [www.mdpi.com/journal/water](http://www.mdpi.com/journal/water).
14. Wagener. Th; Gupta. H; Yatheendradas. S; Goodrich. D; Unkrich. C; & Schaffner. M: Understanding sources of uncertainty in flashflood forecasting for semi-arid regions. Quantification and Reduction of Predictive Uncertainty for Sustainable Water Resources Management (Proceedings of Symposium HS2004 at IUGG2007, Perugia, July 2007). IAHS Publ. 313, USA, 2007.

15. Wang. Y; Liu. R; Guo. L; Tian. J; Zhang. X; Ding. L; Wang. Ch; and Shang. Y: Forecasting and Providing Warnings of Flash Floods for Ungauged Mountainous Areas Based on a Distributed Hydrological Model, Water 2017, 9, 776; 2017.

doi:10.3390/w9100776. [www.mdpi.com/journal/water](http://www.mdpi.com/journal/water), China

Institute of Water Resources and Hydropower Research, Beijing.

16. WMO. World Meteorological Organization: integrated flood management tools series, management of flash floods, The Associated Programmed on Flood Management (APFM), 2012. [www.apfm.info](http://www.apfm.info)

17. Young, A: Slopes. Oliver & Boyd, Edinburg, 1972.

الموافقة على النشر :	2018/10/10
----------------------	------------

ورود البحث :	2018/8/1
--------------	----------